

III-211 NATMによる円形トンネル周辺に生ずる塑性域内の変位について

徳島大学工学部 正員 小田英一
徳島大学工学部 正員 堀田政国

1. まえがき

円形トンネルの施工にNATM工法をとった場合のトンネル周辺地山に生ずる塑性域内の変位を求める問題は、従来より著者らが研究して来た塑性理論とロックボルトの塑性域内のすべり線を切ることによる地山のせん断強度常数の増加するという理論と吹付コンクリート支保工のトンネル換算内圧の理論とロックボルトの引抜き抵抗とトンネル換算内圧の理論等を総合して解析で^{1), 2)}。この場合地山のダイレタンシー角がトンネル変位に与える影響があるので、これらのことをについて得られた知見について報告する。

2. 解析手法

NATM工法における吹付コンクリートのライニング材のトンネル土圧支持効果をトンネル内圧 P_i^s として表わすには次式によるとする。

$$P_i^s = \frac{2d \tau^s}{f_i \sin \alpha^s}, \quad \tau = 2r_0 \cos \alpha^s \quad \cdots \cdots \cdots (1)$$

ただし、 α^s : ライニング材のせん断角、 τ^s : ライニング材の破壊せん断応力、 d : ライニング材の厚さ、 r_0 : 円形トンネルのライニング外周円の半径、 f_i : ライニング材の圧縮強度、とする。この場合 $\tau^s = 0.43 f_i$, $\alpha^s = 30^\circ$ とすることとする。

ロックボルトのトンネル土圧支持効果を引抜き抵抗のトンネル換算内圧 P_i^k として評価する解法については、小田、堀田³⁾の研究によるものとする。つまりトンネル周辺に塑性域が生ずると、ロックボルト挿入により地山のせん断強度常数が増加するが、これの解説法については小田、堀田、笠井⁴⁾の研究の方法によることとする。

上述の方法により求めたロックボルト地山補強による地山のせん断強度常数を求めて、トンネル内圧 $P = P_i^s + P_i^k$ が作用する場合の素掘円形トンネルと考えて、トンネル周辺に塑性域の生ずるとの塑性域内のすべり線、彈塑性境界、応力分布については、地山の降伏条件式と応力釣合条件式により求まる連立偏微分方程式を持続理論によって解説して求めめる。これについても小田、山上⁵⁾が研究しているので、この方法によつて解説する。

つきにトンネル周辺の塑性域の変位を求めるには、ひずみ速度と速度との関係式とモールのひずみ速度円とダイレタンシー角を媒介とした体積ひずみ速度とせん断ひずみ速度との関係式とよりえられる連立偏微分方程式を持続理論によつて持性式を導き、線型尾分法による逐次近似法によつて zero extension line と変位を求める解説法を小田、堀田、笠井⁶⁾の研究によつてえられたので、この方法によることとする。

3. 解析結果と考察

トンネル解説モデルとしては図-1に示すように以前に行つたトンネル模型実験³⁾をシミュレートした。図-2はロックボルト挿入によるロックボルト挿入による換算内部摩擦角を用いて弾塑性境界の大きさを比較した。ただし換算土かぶり高 $H = 397.2\text{ cm}$ 、土の単位重量 $\gamma = 20.019 \frac{\text{kN}}{\text{m}^3}$ 、 $r_0 = 8\text{ cm}$ 、吹付コンクリートを考えると $d = 0.2\text{ cm}$ 、 $f_i = 4 \frac{\text{kN}}{\text{cm}^2}$ と仮定して $P_i^s = 0.1 \frac{\text{kN}}{\text{cm}^2}$ となる。参考のため図-3では、地山のせん断強度常数が図-1に示す値より大で⁷⁾トンネル周辺が弾性状態になると、吹付コンクリート内圧効果によるトンネル円孔変位との相違を検討した。特にトンネル頂部、側壁中心、底部中心のひずみについては表にして比較している。また著者らが提案しているダイレタンシー角 α を用いた塑性論によつて解説したものが図-4(a), (b)である。図-4(a)は $\alpha = -23.8^\circ$ の場合で地山が圧縮状態になる場合で、図-4(b)は $\alpha = +5.0^\circ$ の場合で地山が膨張状態になる場合である。また本解説法をロックボルト挿入時に適用し、その結果を表-1にまとめた。これより $\alpha = +5.0^\circ$ の場合はロックボルト本数の増加に伴いひずみが小さくなつている。 $\alpha = -23.8^\circ$ の

場合はロックボルト本数の増加によ
る中の増加はかかるずつが多少
大きくなっていくが、図-4(a)に示す
如くロックボルトの $P_a^R = 0.12 \text{ kgf/cm}^2$ (定
着地緩衝係数0.2と仮定) と $P_a^S = 0.1 \text{ kgf/cm}^2$
を参考れば、塑性領域は大きくなり
図-4の表に示す $P = P_a^R + P_a^S = 0.22 \text{ kgf/cm}^2$
の場合の U の値となり、 U の値は
小さくなつてNATMの効果がみら
れることとなる。

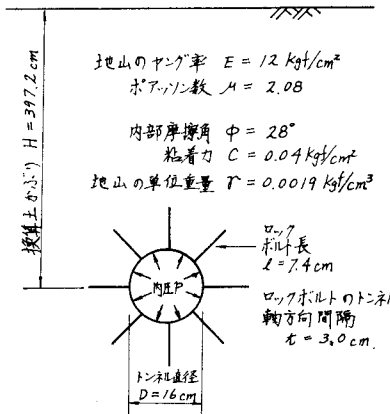


図-1 トンネル解析モデル

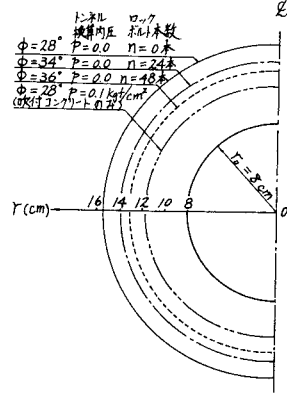


図-2 塑性境界

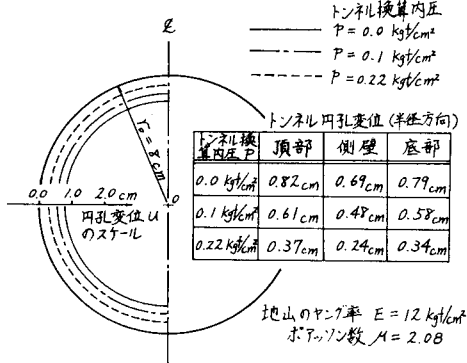


図-3 内圧が存在する場合のトンネル円孔変位
(弾性論)

表-1 ロックボルトのみの影響による
トンネル円孔変位 U (半径方向)

地山の ダイレクシ- ン角 ψ	地山の 内部摩擦角 ϕ	頂 部	側 壁	底 部
$\psi = -23.8^\circ$	$\phi = 28^\circ$ (付帯OK)	0.64 cm	0.52 cm	0.60 cm
	$\phi = 34^\circ$ (付帯OK)	0.67 cm	0.53 cm	0.64 cm
	$\phi = 36^\circ$ (付帯OK)	0.68 cm	0.54 cm	0.65 cm
$\psi = +5.0^\circ$	$\phi = 28^\circ$ (付帯OK)	0.95 cm	0.92 cm	0.92 cm
	$\phi = 34^\circ$ (付帯OK)	0.92 cm	0.86 cm	0.88 cm
	$\phi = 36^\circ$ (付帯OK)	0.89 cm	0.81 cm	0.86 cm

備考: ロックボルトのあるときの中行地山の
換算内部摩擦角である。

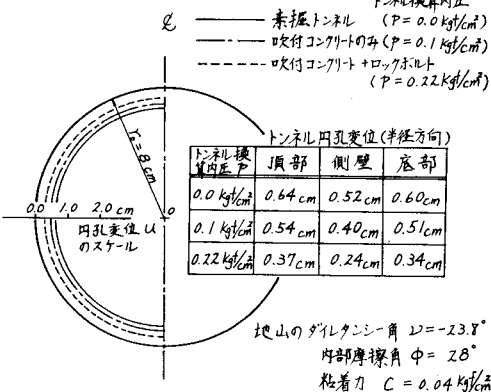


図-4(a) トンネル円孔変位
(ダイレクシ-
ン角 $\psi = -23.8^\circ$ の場合)

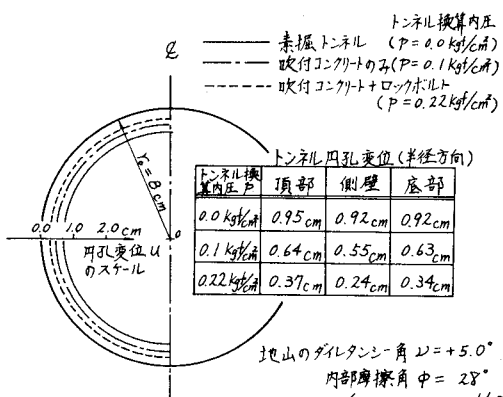


図-4(b) トンネル円孔変位
(ダイレクシ-
ン角 $\psi = +5.0^\circ$ の場合)

参考文献: - 1) 国行俊、菅原勝彦: 土木学会発行、地下構造物の設計と施工、昭和51年9月、pp.1~19, 2) 小田英一、塙田政国: 「弾性体としての地山における円形トンネルのNATMの土压支保理論について」第16回土質工学研究発表会、昭和56年度発表講演集, 3) 小田英一、塙田政国、笠井敬正: 土木学会第34回年次学術講演会講演概要集第3部、pp.563~564, 4) Oda, E. & Yamagami, T.: Proc. 2nd Int. Conf. on Numerical Methods in Geomechanics, June 1976, Vol. II, pp.847~858, 5) 小田英一、塙田政国、笠井敬正: 第5回土質工学研究発表会昭和55年度発表講演集 pp.825~828.